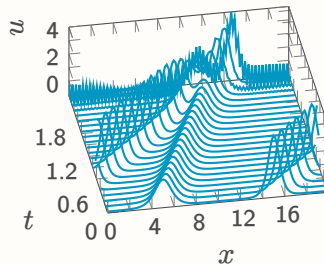


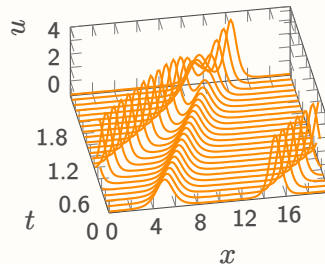
例：非線形波動のシミュレーション (KdV 方程式)

時間発展

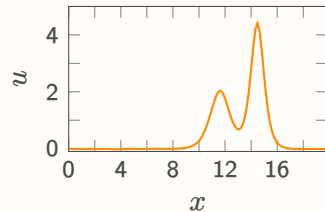
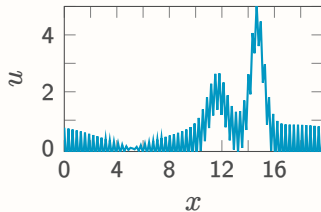
汎用解法



構造保存数値解法



$T = 2.07$



汎用解法

Runge–Kutta 法，線形多段階法，...

- + 全ての方程式に利用可能
- + 豊富な理論 (精度，安定性)
- 難しい問題に対しては非効率的

特殊解法

Störmer 法，Verlet 法，...

- + 優れたパフォーマンス (特に長時間積分)
- 「方程式」に強く依存

構造保存数値解法 (GNI: Geometric Numerical Integration)

- 方程式の「重要な」性質を抽出
symplecticity (symplectic 法), 保存性/散逸性 (離散勾配法,...), ...
- 優れた長時間挙動
- 適用範囲の拡大：離散勾配法の場合
各論 → Hamilton 系 [Gonzalez 1996]
→ (任意の) 保存/散逸系 [McLachlan, Quispel, and Robidoux 1999]

- ① はじめに
- ② 常微分方程式の汎用解法の概要
- ③ 数値解法の安定性
- ④ 数値解法の精度：Runge–Kutta 法
- ⑤ 数値解法の精度：線形多段階法
- ⑥ まとめ

常微分方程式の初期値問題 ($x: [0, T) \rightarrow \mathbb{R}^d$, $\dot{x} := \frac{dx}{dt}$)

$$\dot{x}(t) = g(t, x(t)) \quad (t \in (0, T)), \quad x(0) = x_0.$$

$g(t, \cdot)$ が局所 Lipschitz 連続であれば、解は一意的に存在する。

古典的な例

- 調和振動子：

$$\begin{cases} \dot{p} = kx, \\ m\dot{x} = p. \end{cases}$$

- Lotka–Volterra 方程式：

$$\begin{cases} \dot{x} = ax - bxy, \\ \dot{y} = cxy - dy. \end{cases}$$

近年の例

- 加速勾配法の連続極限
[Su, Boyd, and Candes 2014]：

$$\ddot{x} + \frac{3}{t}\dot{x} + \nabla f(x) = 0.$$

- Neural ODE
[Chen, Rubanova, Bettencourt, and Duvenaud 2018]：

$$\dot{x} = f_{\text{NN}}(\theta, x, t).$$

陽的 Euler 法：

$$\frac{x^{(k+1)} - x^{(k)}}{h_k} = g(t_k, x^{(k)}) \quad (k = 0, 1, \dots), \quad x^{(0)} = x_0.$$

cf. ODE

$$\dot{x}(t) = g(t, x(t)) \quad (t \in (0, T)), \quad x(0) = x_0.$$

適切な仮定の下，

$$\|x^{(k)} - x(t_k)\| \leq Ch_{\max} \quad \left(h_{\max} := \max_i h_i\right).$$

- ステップ幅 h_k が十分小さいとき， $x^{(k)}$ は $x(t_k)$ の良い近似．
- 右辺が h_{\max} について 1 次なので，1 次精度という．

陽的 Euler 法：

$$\frac{x^{(k+1)} - x^{(k)}}{h_k} = g(t_k, x^{(k)}) \quad (k = 0, 1, \dots), \quad x^{(0)} = x_0.$$

1 ステップの中に
内部段を作る

過去の情報の利用
($x^{(k-1)}$ など)

Runge-Kutta 法

- Heun 法
- いわゆる Runge-Kutta 法
- Dormand-Prince の方法 (MATLAB の ode45, scipy.integrate.solve_ivp 等)

線形多段階法

- Adams-Bashforth 公式
- Adams-Moulton 公式
- 後退微分公式
(BDF: Backward Differentiation Formula)

これらの共通の一般化 (一般線形法) や、これらに属さない手法もある。

定義： Runge–Kutta 法

$\dot{x} = g(t, x)$ に対する s 段 Runge–Kutta 法：

$$\begin{cases} X_i^{(k)} = x^{(k)} + h \sum_{j=1}^s a_{ij} g(t_k + c_j h, X_j^{(k)}) & (i = 1, \dots, s), \\ x^{(k+1)} = x^{(k)} + h \sum_{i=1}^s b_i g(t_k + c_i h, X_i^{(k)}). \end{cases}$$

$X_i^{(k)}$ ：内部段

a_{ij}, b_i, c_i ：パラメータ

例：陽的 Euler 法

$$\frac{x^{(k+1)} - x^{(k)}}{h} = g(t_k, x^{(k)}) \quad \longrightarrow \quad \begin{cases} X_1^{(k)} = x^{(k)} + h \cdot 0 \cdot g(t_k, X_1^{(k)}) \\ x^{(k+1)} = x^{(k)} + h \cdot 1 \cdot g(t_k, X_1^{(k)}) \end{cases}$$

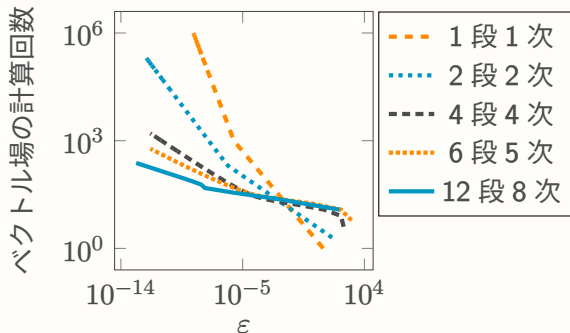
問題設定：時刻 $T > 0$ の厳密解 $x(T)$ の誤差 $\varepsilon > 0$ 以内の近似の計算
(簡単のため, ステップ幅 $h := T/K$ は固定.)

- 陽的 Euler 法：ベクトル場の計算回数 $O\left(\frac{1}{\varepsilon}\right)$
 \therefore 誤差評価 $\|x^{(K)} - x(T)\| \leq Ch = C\frac{T}{K} = \varepsilon \Rightarrow K = \frac{CT}{\varepsilon}$
- p 次精度の Runge-Kutta 法：ベクトル場の計算回数 $O\left(\left(\frac{1}{\varepsilon}\right)^{\frac{1}{p}}\right)$
 \therefore 誤差評価 $\|x^{(K)} - x(T)\| \leq C_p h^p = C_p \left(\frac{T}{K}\right)^p = \varepsilon \Rightarrow K = T \left(\frac{C_p}{\varepsilon}\right)^{\frac{1}{p}}$

数値例：

$$\dot{x} = -x, T = 10.$$

要求精度が小さいとき,
次数が高いほど有利.



Runge–Kutta 法のパラメータは, [Butcher 1964] に従って以下のように表示することが多い:

c_1	a_{11}	\cdots	a_{1s}
\vdots	\vdots		\vdots
c_s	a_{s1}	\cdots	a_{ss}
	b_1	\cdots	b_s

再掲: Runge–Kutta 法

$\dot{x} = g(t, x)$ に対する s 段 Runge–Kutta 法:

$$\begin{cases} X_i^{(k)} = x^{(k)} + h \sum_{j=1}^s a_{ij} g(t_k + c_j h, X_j^{(k)}) & (i = 1, \dots, s), \\ x^{(k+1)} = x^{(k)} + h \sum_{i=1}^s b_i g(t_k + c_i h, X_i^{(k)}). \end{cases}$$

定義：陽的 Runge–Kutta 法

Runge–Kutta 法が陽的 \iff 任意の $i \leq j$ に対して, $a_{ij} = 0$.
 そうでない場合, 陰的 Runge–Kutta 法と呼ばれる.

Heun 法 (陽的):

0	0	0	→ $X_1^{(k)}$ は陽的に計算可能
1	1	0	→ $X_2^{(k)}$ は陽的に計算可能
	1/2	1/2	$X_2^{(k)} = x^{(k)} + h \cdot 1 \cdot g(t_k, X_1^{(k)}) + h \cdot 0 \cdot g(t_k + h, X_2^{(k)})$

陰的台形則 (陰的):

0	0	0	→ $X_1^{(k)}$ は陽的に計算可能
1	1/2	1/2	→ $X_2^{(k)}$ は陽的に計算できない
	1/2	1/2	$X_2^{(k)} = x^{(k)} + h \cdot \frac{1}{2} \cdot g(t_k, X_1^{(k)}) + h \cdot \frac{1}{2} \cdot g(t_k + h, X_2^{(k)})$